

フランスにおける溶接水圧鉄管の製作

“Utilisation du principe du relèvement de la limite élastique des aciers par écrouissage et vieillissement artificiel à la construction des conduites forcées et économie en résultat” 他 2 編

Par G. Ferrand

La Houille Blanche, No. 1, No. 2 1953, No. 1 1954

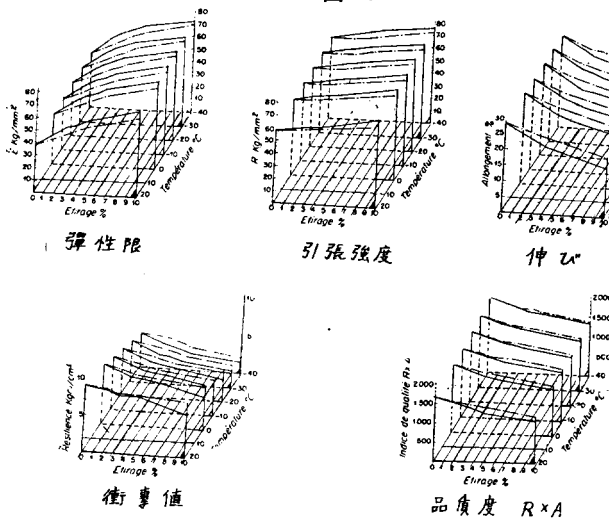
1. 水圧鉄管の変遷 フランスにおける水圧鉄管の製作は 1910 年にガス溶接管が出現するまでは、鋸接管のみであったが、鋸接製作はその初期には穿孔が今日のような穿孔機が用いられていなかったため、鋸孔部からの破壊がしばしば発生した。しかしガス溶接管も溶接部に金属組織の変化を生じ、また施工の際に欠陥がともなわざるをえなかった。そのため結局水圧試験によつて安全度が保証された。1930年以後、電気溶接の登場とともにガス溶接管は姿を消し、さらに溶接部に対する新しい検査法(X線検査等)により、不純物、龜裂、空隙等が発見されるようになった。一方 1925 年以來フランスの高落差地点では、転造による鋼バンドまたは鋼索を巻きつけたバンド管が利用されるようになり、1951 年に至つて、次にのべる過圧工法 (pre-

expansion, surpression) による水圧鉄管およびバンド管が製作されはじめた。

2. ひずみ硬化を利用した過圧管 (over pressed pipe, tuyau surpressé) の製作 冷間加工のひずみ硬化により鋼材の弾性限度を高めるという周知の方法が、高い内圧をうける水圧鉄管の製作の場合には好適であることが以下の方法で証明された。普通に溶接製作された管胴を設計上の所要径よりわずか小さくつくり、これに内側から設計圧力以上の大きな水圧(過圧)をかけて 5% 近くの伸びを与える。この冷間引張り加工のためひずみ硬化を生じ弾性限が 50% 近くも高められる。さらにこの後で人工の時効処理を行うと弾性限は初期の破壊強度より大なる値となり、実に最初よりも 80% も大となる。この方法はまたバンド管の場合にも、バンドをあらかじめはめこんで管胴とバンドを同時に過圧するか、あるいはあらかじめ管胴部のみを過圧してからバンドをはめるかいずれかによつて実施される。この方法でつくられる管はもちろん設計管厚が減少するので重量は約 60% となり、製作価格の割合は約 70% になり、同様にバンド管に適用した場合には、重量は約 70%、製作格は約 90% となつた例が示される。一方過圧法の長所は溶接による内部応力を減殺しうる点にある。収縮による溶接部の内部応力は温度変化の際に生じた変形が妨げられるために生ずるのであるから、この収縮に等しい永久変形を与えることによつて除去されるはずである。この方法は Aust-erlitz 橋の工事の際にも採用され満足すべき結果がえられているものであつて、過圧管の場合においても、過圧後の溶接部の管胴部に対する伸びは、自動溶接のときでさえも 0.001 程度の相対的変形を生じたのみで、初期の目的が十分達せられたのがわかる。ひずみ硬化にともなう材質の変化のうち脆弱化および繰返し荷重に対する考慮は水圧鉄管が水圧をうける状態の際には 0°C 以下の温度になることはめつたにありえないし、また非常に高温をうけることがないという点、また荷重の状態はまれに水衝作用の結果として波動的な力をうけることはあるが、これは衝撃的ではない点等からして、十分安全といつてよい。むしろ水衝作用の際には、普通の管より管厚が薄いために、膨脹が大となり水衝作用の減衰を早めるので有利であり、また負圧をうけたときには、真円が保持されるので、外圧による圧潰に対して安定度が大きなることが証明されている。

ただ問題は、このような加工をうける鋼の材質とそれに応じうる溶接である。高張力鋼の発展がこの工法を導いたともいえるのであつて、その鋼材の機械的性

図-1



- 引張加工後
- 引張加工及び人工時効処理 (250°C, 1hr)
- ▲ 10 箇所張りの平均値曲線
- △ 1 箇所張りの諸値の曲線

質および溶接性の優秀さが指摘されねばならない。

**3. 高張力鋼とその溶接** この過圧工法に対して実際に用いられた鋼材は“Confor E” (Cr-Cu 54 kg) と呼ばれ、イタリーで COF. 3. とよばれている鋼材に相当する。COF. 3. の試験の結果は、3 次元的なグラフを用いて引張加工度、試験温度に対する強度、伸び、衝撃値等の変化が示されている。ここで注目されるのは、加工度に対する弾性限の上昇ぶりと大なる加工に対して伸びの値の十分であること、および衝撃値が使用範囲内では十分な値であること等である。一方また溶接に対する試験の結果、溶接部の機械的性質は母材とほとんど同じであり、硬度が一様性をもち、屈曲性のよいこと等が認められた。また特にひずみ硬化加工を行った場合の溶接部の試験用の種々の試験片をつくり、母材と同様の試験を行ったが母材に対して遜色がないことがわかった。

**4. 溶接性に関する特別の試験** Schnadt 試験の結果から 1~3% までのひずみ加工度では脆弱性は増加せず、5% の場合でも、脆弱性の増加はきわめてわずかであることが認められた。

**5. 水圧鉄管の事故と水圧試験** 鋸打の際の鋸孔の加工による劣化が原因となつて発生した破壊が最も初期の事故であつた。ガス溶接管となつてからは、ドイツの例にならつて、使用時の圧力 (静水頭) の 1.5 倍の水圧で、水圧試験が行われていた。しかしこの試験に合格したものでも通水試験の際や使用時に数多くの破壊を起した。従つて 1918 年以來フランスで定められた方針、1) 設計水頭は正常使用時の最大圧力、2) 安全率は使用鋼材の弾性限に対し 2.5、3) 水圧試験は最大水頭の 2 倍 (實際上の安全率 2) が採用されている。この規則が確立されてからは、正常使用状態の水圧鉄管には全く破壊が発生していない。この点に関する興味ある事故の例を挙げると、1) 1939 年 3 月 d'Izourt で雪崩により起つた事故——雪崩のために管体は最大 1.50 m の横移動を行い、また 100 m のスパンにわたつて中吊り状態となつたが衝撃およびそのための水衝作用にもかかわらず破壊に至らず、変形の状態のまま数時間その機態を全うした。この水圧鉄管は Confor E 鋼で製作され、十分に前記の水圧試験をうけたものであつた。2) 1952 年 11 月 Doron de Champagne の水圧鉄管に生じた事故——この水圧鉄管は 1912 年につくられたガス溶接管であり、当時 1.5 倍の水圧で試験されたものであつた。破壊は鋸接管と連結される管胴の縦継目の溶接線に発生した。調査の結果変形は 0.16% であり、作働圧力の 2 倍の力が加わつたことが推定された。この管から流れ出た水により付近にあつた Pralognan 発電所 (1948 年建設) の水圧鉄管はその支台が侵食され移動した結果、この管は 70 m 近く中吊り状態で 2 時間の間水圧をうけたままであつた。マンホールの部分に当る継手部のバンドと棒鋼に変形を生じ、若干漏水した。しかし、前記の

d'Izourt の管と同様に、この管も伸縮継手がない“フランス式”であつたので、伸縮継手はがはれることによるさらにひどい災害を生ずる危険からまぬかれたのであつた。

すでにのべた過圧管に対する加圧力は最大水頭の 2 倍の圧力で実施されている。そのためちよど製作のときに同時に水圧試験が行われる結果となり、安全率は實際上 2 であることは保証される。このように水圧試験が製作時に行われる以上は、設計に対する鋼材の安全率を事実上 2 にとつてもよいとさえいえるであろう。ただし波動的な力を考慮するとすればこれに対し 10% の余裕をとり、安全率を 2.2 としても十分慎重な値であろうと思われる。一方水圧試験の重要さは、溶接の十分な検査を実施しても、溶接後に組織が変化をうけた局部的な脆弱な収縮部は調べられないが、水圧試験によつてのみこれがチェックされるからである。  
(電力中央研究所 矢島基臣)

床版の荷重分配効果の近似計算法

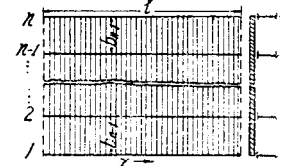
“Näherungsweise Berechnung der lastverteilenden Wirkung von Brückenbelägen”

Von Dr. A. Schleusner

Die Bautechnik 31, Jahrgang Heft 3 März 1954

- $l$  : 縦桁の
- スパン
- $b_r$  : 縦桁の
- 間隔
- $EJ_r = K_r$  :  $r$ -桁の
- 曲げ剛
- 性係数

図-1



- $E_b J = B$  : 床版の曲げ剛性係数 (単位長さ当り)
- $Z_r(x)$  :  $r$ -桁のたわみ曲線
- $p_r^{(0)}(x)$  :  $Z_r(x) = 0$  のときの  $r$ -桁の荷重
- $p_r(x)$  :  $p_r^{(0)} + r$ -桁の変形 ( $Z_r$ ) により支持点に生ずるモーメントによる反力

各支持点のモーメント間にクラペイロンの定理を適用

$$m_r b_r + 2 m_{r+1} (b_r + b_{r+1}) + m_{r+2} b_{r+1} = 6 B \zeta_r \dots \dots \dots (1)$$

$$\zeta_r = (Z_{r+1} - Z_r) / b_r + (Z_{r+1} - Z_{r+2}) / b_{r+1} \dots (2)$$

$r = 1, 2, \dots, n-2$ ; なお  $m_1 = m_n = 0$

各縦桁の荷重は次のようになる。

$$\begin{aligned} p_1 &= p_1^{(0)} - (m_1 - m_2) / b_1 \\ p_2 &= p_2^{(0)} + (m_1 - m_2) / b_1 - (m_2 - m_3) / b_2 \\ &\dots \dots \dots \\ p_r &= p_r^{(0)} + (m_{r-1} - m_r) / b_{r-1} - (m_r - m_{r+1}) / b_r \\ &\dots \dots \dots \\ p_n &= p_n^{(0)} + (m_{n-1} - m_n) / b_{n-1} \end{aligned} \dots (3)$$

$r$ -桁のたわみ曲線の方程式は

$$K_r \cdot d^4 Z_r(x) / dx^4 = p_r; \quad r = 1, 2, \dots, n. \dots \dots (4)$$

前記各式を用い

$$\left. \begin{aligned} K_1 \cdot d^4 Z_1 / dx^4 &= p_1^{(0)} + C_{11} \zeta_1 + C_{12} \zeta_2 + \dots \\ &+ C_{1, n-2} \zeta_{n-2} \\ K_2 \cdot d^4 Z_2 / dx^4 &= p_2^{(0)} + C_{21} \zeta_1 + C_{22} \zeta_2 + \dots \\ &+ C_{2, n-2} \zeta_{n-2} \\ \dots \dots \dots \\ K_n \cdot d^4 Z_n / dx^4 &= p_n^{(0)} + C_{n1} \zeta_1 + C_{n2} \zeta_2 + \dots \\ &+ C_{n, n-2} \zeta_{n-2} \end{aligned} \right\} \dots (5)$$

無次元変数  $\xi = \pi x/l$  の導入と適当な変形により (5) 式は,

$$\left. \begin{aligned} d^4 \zeta_1 / d \xi^4 &= R_1 - \tau_{11} \zeta_1 - \tau_{12} \zeta_2 - \dots - \tau_{1, n-2} \zeta_{n-2} \\ d^4 \zeta_2 / d \xi^4 &= R_2 - \tau_{21} \zeta_1 - \tau_{22} \zeta_2 - \dots - \tau_{2, n-2} \zeta_{n-2} \\ \dots \dots \dots \\ d^4 \zeta_{n-2} / d \xi^4 &= R_{n-2} - \tau_{n-2, 1} \zeta_1 - \tau_{n-2, 2} \zeta_2 - \dots \\ &- \tau_{n-2, n-2} \zeta_{n-2} \end{aligned} \right\} (6)$$

ここに,  $R_r = \frac{l^4}{\pi^4} \left[ \left( \frac{p_{r+1}^{(0)}}{K_{r+1}} - \frac{p_r^{(0)}}{K_r} \right) \frac{1}{b_r} + \left( \frac{p_{r+2}^{(0)}}{K_{r+2}} - \frac{p_{r+1}^{(0)}}{K_{r+1}} \right) \frac{1}{b_{r+1}} \right] \dots \dots \dots (7)$

$$\tau_{r, k} = \frac{l^4}{\pi^4} \left[ \left( \frac{C_{r+1, k}}{K_{r+1}} - \frac{C_{r, k}}{K_r} \right) \frac{1}{b_r} + \left( \frac{C_{r+2, k}}{K_{r+2}} - \frac{C_{r+1, k}}{K_{r+1}} \right) \frac{1}{b_{r+1}} \right] \dots \dots \dots (8)$$

さて,

$$R_r = \sum_{\mu=1}^{\infty} a_{r\mu} \cdot \sin \mu \xi \dots \dots \dots (9)$$

とするとき (6) は

$$\zeta_r = \sum_{\mu=1}^{\infty} f_{r\mu} \cdot \sin \mu \xi \dots \dots \dots (10)$$

とおけば成立する, なお  $f_{r\mu}$  は (11) 式で決められる。

$$\left. \begin{aligned} \mu^4 f_{1\mu} + \tau_{11} f_{1\mu} + \tau_{12} f_{2\mu} + \dots + \tau_{1, n-2} f_{n-2, \mu} \\ = a_{1\mu} \\ \mu^4 f_{2\mu} + \tau_{21} f_{1\mu} + \tau_{22} f_{2\mu} + \dots + \tau_{2, n-2} f_{n-2, \mu} \\ = a_{2\mu} \\ \dots \dots \dots \\ \mu^4 f_{n-2, \mu} + \tau_{n-2, 1} f_{1\mu} + \tau_{n-2, 2} f_{2\mu} + \dots \\ + \tau_{n-2, n-2} f_{n-2, \mu} = a_{n-2, \mu} \end{aligned} \right\} (11)$$

なお, (10) 式に対し  $Z_r^{(0)} = Z_r(l) = 0, Z_r''(0) = Z_r''(l) = 0$  なる境界条件がある。さて  $\zeta_r$  が求まれば,  $p_r, M_r, Z_r$  等は次のようになる。

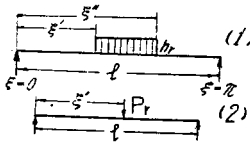
$$p_r = p_r^{(0)}(\xi) + \sum_{\mu=1}^{\infty} p_{r\mu} \cdot \sin \mu \xi \dots \dots \dots (12)$$

$$M_r = M_r^{(0)}(\xi) + \frac{l^2}{\pi^2} \sum_{\mu=1}^{\infty} \frac{1}{\mu^2} p_{r\mu} \cdot \sin \mu \xi \dots (13)$$

$$Z_r = Z_r^{(0)}(\xi) + \frac{l^4}{K_r \pi^4} \sum_{\mu=1}^{\infty} \frac{1}{\mu^4} p_{r\mu} \cdot \sin \mu \xi \dots (14)$$

$R_r$  の級数展開の係数  $a_{r\mu}$  について

図-2

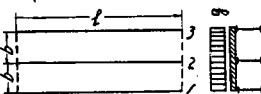


- (1)  $a_{r\mu} = 2 h_r (\cos \mu \xi' - \cos \mu \xi'') / \pi$
- 対称荷重の場合  $a_{r\mu} = 4 h_r \cos \mu \xi' / \pi \quad \mu = 1, 3, 5, \dots$
- 満載荷重の場合  $a_{r\mu} = 4 h_r / \pi \quad \mu = 1, 3, 5, \dots$

(2)  $a_{r\mu} = 2 P_r \cdot \sin \mu \xi' / l$

例題一 ( $n=3$ )

図-3



$$m_2 = 6 B \zeta_1 / 4 b = 6 B (-Z_1 + 2 Z_2 - Z_3) / 4 b^2 \dots (a)$$

$$\left. \begin{aligned} K d^4 Z_1 / dx^4 &= p_1^{(0)} + 6 B / 4 b^2 \cdot \zeta_1 \\ K d^4 Z_2 / dx^4 &= p_2^{(0)} - 12 B / 4 b^2 \cdot \zeta_1 \\ K d^4 Z_3 / dx^4 &= p_3^{(0)} + 6 B / 4 b^2 \cdot \zeta_1 \end{aligned} \right\} \dots \dots \dots (b)$$

$$d^4 \zeta_1 / d \xi^4 = R_1 - \tau_{11} \zeta_1 \dots \dots \dots (c)$$

$$R_1 = l_1 / \pi^4 K b^4 (-p_1^{(0)} + 2 p_2^{(0)} - p_3^{(0)}) \dots \dots \dots (d)$$

$$\tau_{11} = 9 B l^4 / \pi^4 K b^5 \dots \dots \dots (e)$$

従つて  $\mu^4 f_{1\mu} + \tau_{11} f_{1\mu} = a_{1\mu}$ ;  $f_{1\mu} = a_{1\mu} / (\mu^4 + \tau_{11})$ .

$$\zeta_1 = \sum_{\mu=1}^{\infty} a_{1\mu} \cdot \sin \mu \xi / (\mu^4 + \tau_{11}) \dots \dots \dots (f)$$

中桁の  $p, M, Z$  は次のようになる。

$$p_2 = p_2^{(0)} - 3 B / b^2 \sum_{\mu=1}^{\infty} a_{1\mu} \cdot \sin \mu \xi / (\mu^4 + \tau_{11}) \dots (g)$$

$$M_2 = M_2^{(0)} - 3 B l^2 / \pi^2 b^2 \sum_{\mu=1}^{\infty} a_{1\mu} \cdot \sin \mu \xi / \mu^2 (\mu^4 + \tau_{11}) \dots \dots \dots (h)$$

$$Z_2 = Z_2^{(0)} - 3 B l^4 / \pi^4 K b^2 \sum_{\mu=1}^{\infty} a_{1\mu} \cdot \sin \mu \xi / \mu^4 (\mu^4 + \tau_{11}) \dots \dots \dots (i)$$

さて,

$$p_1^{(0)} = p_3^{(0)} = 3/8 \cdot gb, \quad p_2^{(0)} = 10/8 \cdot gb$$

$$R_1 = 7/4 \cdot gl^4 / \pi^4 K$$

$$\zeta_1 = 7 \cdot gl^4 / \pi^5 K \cdot \sum_{\mu=1, 3, 5}^{\infty} \sin \mu \xi / \mu (\mu^4 + \tau_{11})$$

$$M_2 = M_2^{(0)}(\xi) - gbl^2 / \pi^3 \cdot \tau_{11} \sum_{\mu=1, 3, 5}^{\infty} \sin \mu \xi / \mu^3 \times (\mu^4 + \tau_{11})$$

ここに,

$$M_2^{(0)}(\xi) = 10/8 \cdot gb x (l-x) / 2 = 5/8 \cdot gbl^2 (1-\xi) \xi / \pi^2$$

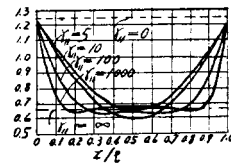
$$p_2 = 10/8 \cdot gb - 7/3 \cdot gb / \pi \cdot \tau_{11} \sum_{\mu=1, 3, 5}^{\infty} \sin \mu \xi / \mu (\mu^4 + \tau_{11})$$

もし,  $\tau_{11} = 0$  ならば  $p_2 = 10/8 \cdot gb$

$$\tau_{11} = \infty \text{ ならば } p_2 = 2/3 \cdot gb$$

種々なる  $\tau$  に対する  $p_2$  の変化は次図のようになる。

図-4



なお, 原論文には, 集中荷重が作用する場合, 縦桁が 6 本の場合等をも扱っている。

(早稲田大学 平嶋政治)

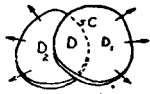
棒から板への張力の伝達

By J.N. Goodier, C.S. Hsu

Journal of Applied Mechanics Vol. 21, 1954

1. 一般論 薄板  $D_1$  が他の薄板  $D_2$  に重なり共通

図-1



面  $D$  で一体的結合をなす。 $D_2$  は実際は  $D_1$  を挟んで上下2枚から成る。解析には曲げを考えぬとすると  $D_1, D_2$  のポアソン比 ( $\nu_1, \nu_2$ ) が等しければ両板の厚さ, ヤング

率に関係なく結合により伝えられる力は  $D$  の周  $C$  における線状分布力だけで  $D$  内の結合面力は関与せぬ。これを示すため平面応力における板の変位方程式

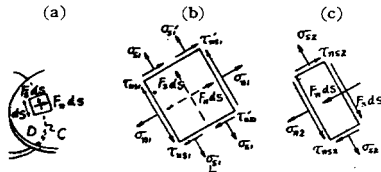
$$\begin{aligned} \nu_1 u + \frac{1+\nu}{1-\nu} \frac{\partial e}{\partial x} + \frac{X}{hG} &= 0 \\ \nu_1 v + \frac{1+\nu}{1-\nu} \frac{\partial e}{\partial y} + \frac{Y}{hG} &= 0 \end{aligned}$$

をとる。ただし  $X, Y$  は面力成分,  $h$  は板厚,  $G$  は剪断剛性率,  $e$  は膨脹 ( $=\partial u/\partial x + \partial v/\partial y$ ) である。上の問題で  $D_1, D_2$  の共通部変位は等しいから  $u_1 = u_2 = u$  等とし,  $X, Y$  は両板に関し等大反方向なるを考えれば上記第1式から

$$\begin{aligned} \nu_1 u + \frac{1+\nu_1}{1-\nu_1} \frac{\partial e}{\partial x} + \frac{X}{h_1 G_1} &= 0 \\ \nu_1 u + \frac{1+\nu_2}{1-\nu_2} \frac{\partial e}{\partial x} - \frac{X}{h_2 G_2} &= 0 \end{aligned}$$

この差を作ると  $\nu_1 = \nu_2$  なら  $X=0$ , 同様  $v$  の式から  $Y=0$  を得て, しかもこのことは  $h, G$  の等, 不等にはよらない。

図-2



2. 局所論  $D$  の周外の  $D_1, D_2$  内の応力により重ね部分の応力及び  $C$  上の分布力が知れることを示す。

図-2 (a) に  $D_1$  内の矩形要素で  $C$  を通るものをとる。これに働らく  $D_1$  内の応力成分を  $C$  の外部でダッシュをつけて区別し 図-2 (b) に示す。また  $D_2$  上でこの要素と重なる部分を 図-3 (c) に示す。  $F_n ds, F_s ds$  は  $C$  での結合力 (単位長当たり) である。  $dn/ds \rightarrow 0$  とすると応力平衡の式は

$$t_1(\sigma_{n1} - \sigma_{n1}') = 2F_n; t_1(\tau_{ns1} - \tau_{ns1}') = 2F_s \dots (1)$$

(2) は  $D_2$  が上下2枚から成るによる。原文は  $D_2$  が1枚の場合の計算を行っているがあえて抄訳者は初めから2枚とした方が明瞭と思うので少しく改めた) 同じく

$$t_2 \sigma_{n2} = -F_n; t_2 \tau_{ns2} = -F_s \dots (2)$$

$t_2$  は  $D_2$  1枚の厚さである。

完全結合の下で  $D$  における両板のひずみ等しくまた

$D_1$  の伸びひずみで  $C$  に沿うものは相等しい。すなわち

$$\begin{aligned} \epsilon_{s2} = \epsilon_{s1} = \epsilon_{s1}' (= \epsilon_s); \epsilon_{n2} = \epsilon_{n1} (= \epsilon_n); \\ \tau_{ns2} = \tau_{ns1} (= \tau_{ns}) \dots (3) \end{aligned}$$

応力ひずみ関係式は

$$\begin{aligned} \sigma_n = E(\epsilon_n + \nu \epsilon_s)/(1-\nu^2); \\ \sigma_s = E(\epsilon_s + \nu \epsilon_n)/(1-\nu^2); \tau_{ns} = G \tau_{ns} \dots (4) \end{aligned}$$

これらから

$$1 + \left( \frac{2t_2 G_2}{t_1 G_1} \right) \tau_{ns} = \tau_{ns1}' \dots (5)$$

$$\begin{aligned} \left\{ 1 + 2 \frac{t_2 E_2 (1-\nu_1^2)}{t_1 E_1 (1-\nu_2^2)} \right\} \epsilon_n \\ = \epsilon_{n1}' - \frac{2t_2 E_2 (1-\nu_1^2)}{t_1 E_1 (1-\nu_2^2)} \nu_2 \epsilon_{s1}' \dots (6) \end{aligned}$$

すなわち (5) (6) 及び (3) の第1式で  $D$  内のひずみ  $\epsilon_n, \epsilon_s, \tau_{ns}$  が  $D_1$  の  $C$  外のひずみ  $\epsilon_{s1}', \epsilon_{n1}', \tau_{ns1}'$  で表わされた。これは局所の関係である。(3) (5) (6) 式を用いて

$$\begin{aligned} F_n = \frac{-E_2 t_2}{1-\nu_2^2} (\epsilon_n + \nu_2 \epsilon_s) \\ = \frac{-t \{ (1-\nu_1 \nu_2) \sigma_{n1}' - (\nu_1 - \nu_2) \sigma_{s1}' \}}{\left\{ 2(1-\nu_1^2) + (1-\nu_2^2) \frac{E_1 t_1}{E_2 t_2} \right\}} \dots (7) \end{aligned}$$

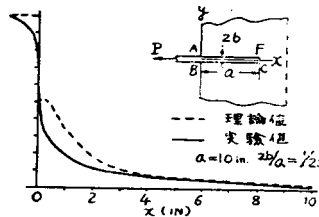
$$F_s = -t_2 G_2 \tau_{ns2} = \frac{-t_1 \tau_{ns1}'}{2 + \frac{t_1 G_1}{t_2 G_2}} \dots (8)$$

$\nu_1 = \nu_2, E_1 = E_2$ , かつ  $t_1 = 2t_2$  ならば

$$F_n = -t_1 \sigma_{n1}' / 4; F_s = -t_1 \tau_{ns1}' / 4 \dots (9)$$

すなわち  $D_1$  の荷重の  $1/4$ ; づつが  $C$  の線分布力として上下の  $D_2$  へ伝わる。従つて  $1/2$  の力が線結合力となつて入る。

図-3



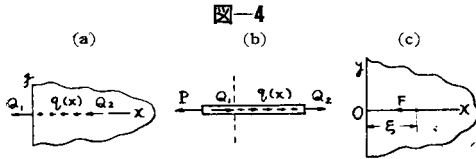
3. 実験 半電

限板 ( $D_1$ ) の上下に2枚の帯板 ( $a \times 2b$ )  $D_2$  がつく場合は全く

1.2 と同じ状況となるのでこのとき  $AB$  における

帯板内の張力減少は  $50\%$  となる。またこの張力は端部  $CF$  に至るとき  $0$  とはならない。この理論計算は 4. に述べる。実験はブロックから切り出した試験片について行い抵抗線ひずみ計によつて帯板内の伸びひずみを求めた。  $AB$  部で張力降下に不連続の現われないのは完全平面応力状態が期待されないことと, ゲージ, 結合部間の帯板厚が有限であることによる。帯板の自由部でただちに張力が外張力に到達しないのは平板が横方向の拘束を与えるためである。また結合部右端  $CF$  における張力は  $a$  が短かいはほど大きくなることが見られる。実験における  $a$  としては  $10, 8, 3, 2, 1, 1/2, 1/4$  (単位 in) を用いた。曲げ影響をりのぞくためゲージはもちろん上下に張つてある。

4. 理論的張力分布 板と棒との間の張力伝達に関



する問題は性質上積分方程式に帰せられる。いわゆる張力急減は方程式の核の不連続による。帯板は十分細く横力無視して平板と帯板の間の線状荷重が帯板中心線に働らくとしてそれは図-4(a),(b)に示すように

$$\varepsilon(x, 0) = \frac{1}{\pi t_1 E_1} \left[ Q_1 K(x, 0) + Q_2 K(x, a) + \int_0^a K(x, \xi) q(\xi) d\xi \right] \dots \dots \dots (11)$$

これは帯板内張力(2枚合せて)を  $p(x)$  とすると  $p(x)/4bt_2E_2$  に等しく一方図-4(c)より  $q(\xi) = -dp$

$$p(x) = \frac{4bt_2E_2}{\pi t} \left[ Q_1 K(x, 0) + Q_2 K(x, a) - \int_0^a K(x, \xi) \frac{d}{d\xi} p(\xi) d\xi \right] \dots \dots \dots (12)$$

これが  $p(x)$  に関する積分方程式で  $(0, a)$  区間に適当な8点を取りそれに応ずる  $p$  を  $p_1, \dots, p_8$  として代数的に解いた。

核  $K(x, \xi)$  は  $x=\xi$  で特異性をもつので(12)式

の  $Q_1(x=0) q(x) (0 < x < a) Q_2(x=a)$  である。さて図-4(a)のごとく  $(\xi, 0)$  に働らく力  $F$  による  $(x, 0)$  点のひずみを Melan によれば (E. Melan: Z.A.M.M. Vol. 12, 1932),

$$FK(x, \xi)/\pi t_1 E_1$$

$$K(x, \xi) = \frac{(3-\nu)(1+\nu)}{x-\xi} + \frac{5-2\nu+\nu^2}{x+\xi}$$

$$+ 2(1+\nu)^2 \frac{\xi(x-\xi)}{(x+\xi)^2} \dots \dots \dots (10)$$

従つて  $Q_1, Q_2, q(x)$  によるひずみ  $\varepsilon(x, 0)$  は

$\times (\xi)/d\xi$  であるから(11)式は

積分には Cauchy の主値をとる。このようにして図-3の理論曲線を得た。

(東京大学工学部 山口柏樹)

## 新 刊 紹 介

### セメントコンクリート製品の技術

A・5判313ページ 日本建設材料協会発売 頒価300円 昭.29.11.19.刊行

セメント・コンクリート製品の生産者および使用者を対象に、日本工業規格(JIS)を中心にして、製造技術についての要点を解説したものである。製品の種類としては遠心力鉄筋コンクリート製品(パイプ・ボール・キュー)をはじめ一般のコンクリート製品から建築用の屋根材・壁材等に及び、かつそれにとまなうセメントおよびコンクリート関係の規格についてふれている。工業技術院で主催して開かれたセメントコンクリート製品の技術講習会(11月~12月)のテキストとして編集されたものであるが、関係日本工業規格も集録してあるため、関係者の座右にあれば大変便利であると思われる。執筆者は山田順治・杉木六郎の両氏のほかセメント・建築関係の権威者4氏があつている。

(編集部)

## 土木学会刊行物

土木工學論文抄録 第3集	A 4判 230頁	実費 500円	(送料 60円)
第4集	A 4判 173頁	450円	( " 60円)
コンクリート標準示方書(昭和26年度)	B 6判 266頁	180円	( " 30円)
コンクリート標準示方書解説	B 5判 167頁	300円	( " 30円)
		会員特価240円	
最新土木製図基準(Ⅰ)	B 5判 138頁	実費 150円	( " 30円)
昭和26年夏季講習会パンフレット	B 5判 46頁	200円	( " 30円)
Ⅱ橋			
昭和27年夏季講習会パンフレット	B 5判 92頁	実費 200円	(送料 共)
昭和28年夏季講習会パンフレット		会員特価150円	
プレストレストコンクリート構造力学	B 5判 176頁	実費 300円	(送料 30円)
昭和29年夏季講習会パンフレット	B 5判 190頁	300円	( " 30円)
新築土木工学	B 5判 132頁	300円	( " 30円)
土木工學新築土木工学	B 6判 416頁	実費 315円	( " 35円)
土木工學新築土木工学	A 4判 264頁	1500円	( " 100円)
		会員特価1000円	

土木学会

東京都千代田区大手町2丁目4番地  
 麹町・東京 16828・電話 (20) 3945・4078

# 土木工学の集大成

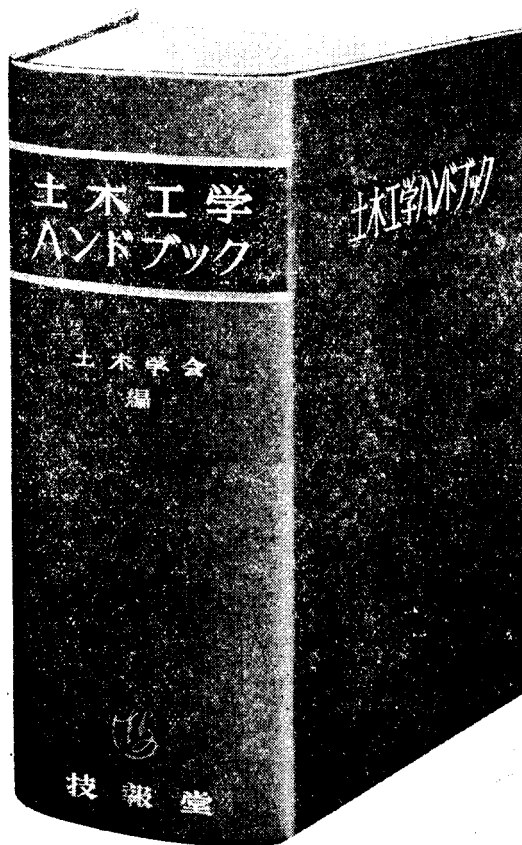
土木学会創立40周年記念出版

# 土木学ハンドブック

## 土木学会編

委員長 東京大学教授 工学博士 福田武雄

幹事 5名 主査 33名 編集委員 141名



### 定 価

クロス装 ￥3200 (〒80)

総革装 ￥3700 (〒80)

A5判 2206頁 上製 函入

### 主要・目次

1編 数表及数学	17編 特殊鉄
2編 構造力学	18編 地下鉄
3編 土性及土質力学	19編 道
4編 水理学	20編 都市計
5編 測量	21編 港
6編 製 図	22編 河
7編 土木材料	23編 砂
8編 コンクリート及鉄筋コンクリートの施工	24編 発電水
9編 鉄筋コンクリートの設計	25編 上水
10編 石工構造	26編 下水
11編 木構造	27編 ダ
12編 鋼構造物製作法	28編 基礎
13編 橋梁総論	29編 トンネル
14編 鉄道橋	30編 施工及土木機
15編 道路橋	31編 地質・地震・気象
16編 鉄道	32編 土地改
	33編 建築
	索引

東京都千代田区大手町 2-4  
東京都港区赤坂溜池 5

土 木 学 会  
技 報 堂

振替口座 東京16828番  
振替口座 東京 10番